

СОДЕРЖАНИЕ

| | |
|---|-----|
| Введение (<i>А.Ю. Мушкин</i>) | 4 |
| Принципы классификации опухолей позвоночника (<i>М.А. Мушкин, Д.Б. Маламашин, А.Ю. Мушкин</i>) | 8 |
| Атлас лучевых изображений опухолей позвоночника (<i>О.В. Мальченко, А.Ю. Мушкин, Е.С. Кириллова</i>) | 32 |
| Чрескожная биопсия позвонков при опухолях позвоночника (<i>Д.Б. Маламашин</i>) | 118 |
| Алгоритмы принятия решений при опухолях позвоночника (<i>А.Ю. Мушкин</i>) | 132 |
| Заключение | 141 |
| Список литературы | 142 |
| Предметный указатель | 146 |

АТЛАС ЛУЧЕВЫХ ИЗОБРАЖЕНИЙ ОПУХОЛЕЙ ПОЗВОНОЧНИКА

Структуру написания данной главы мы постарались максимально приблизить к практическому применению, уделив основное внимание лучевым изображениям различных опухолей позвоночника.

Для каждой опухоли приведено описание клинических и морфологических особенностей. В случае эпидемиологических особенностей приводятся сначала общие популяционные сведения, затем — данные о вертебральных поражениях. Если в клинической картине заболевания или при его диагностике встречались какие-либо особенности или нестандартные ситуации, внимание читателя обращено на это соответствующей пометой после описания рисунка — «NB!».

Описание опухолей следует в алфавитном порядке, с исходным делением на доброкачественные и злокачественные. Наименования опухолей, вынесенные

в названия подразделов, соответствуют принятой в настоящее время терминологии, в то время как исторически применявшимся названия приведены в качестве синонимов. Понятия, используемые в основном в отечественной литературе, помечены соответствующим образом — (отеч.). Исключены сведения устаревшие или в значительной степени противоречащие современному взгляду на патологию. Значительная часть информации, прежде всего — термины и эпидемиологические данные, отражает позицию рабочей группы по редакции и консенсусу документов Всемирной организации здравоохранения (ВОЗ), принятую на конференции в Лондоне в 2002 г. Соответствующее издание ВОЗ [Fletcher et al., 2002] подготовлено группой из 120 экспертов на основании 2353 публикаций.

Доброкачественные опухоли позвоночника

Аневризмальная костная киста

Аневризмальная (отеч. аневризматическая) костная киста (АКК; англ. aneurysmal bone cyst, ABC; син.: гемангиоматозная киста кости, геморрагическая киста кости, гигантоклеточная reparативная гранулема, доброкачественная аневризма кости, мультилокулярная кровяная киста) — доброкачественное поражение, характеризующееся локальным вздутием кости с истончением замыкательных пластинок и образованием костной полости, содержащей кровянистую жидкость. Морфологически содержимое кисты представлено

волокнистой фиброзной тканью с умеренным количеством веретенообразных мономорфных клеток, которые морфологически, микроскопически, ультраструктурно и имmunогистохимически обладают признаками фибробластов, миофибробластов и гистиоцитов. В стенке и перегородках кисты определяются гигантские многоядерные клетки типа остеобластов. Включенное в название понятие «аневризмальная» не отражает ее этиологию: не имеется убедительных данных ни о ее сосудистом, ни о каком-либо другом, например травматическом, происхождении.

Вместе с тем возможно питание кисты паравertebralным сосудом, на чем базируется один из методов ее лечения — эмболизация. В связи с преимущественно кистозным, а не тканевым составом, АКК рассматривается как опухоль неопределенного происхождения. Предполагается наличие как первичных АКК, так и вторичных, формирующихся при наличии других доброкачественных, и даже злокачественных, костных опухолей, чаще — гигантоклеточной опухоли, остеобластомы или остеогенной саркомы, в чем имеется определенное противоречие: как было указано выше, АКК рассматривается как доброкачественное образование.

АКК составляют около 1% всех первичных опухолей скелета. В 80% случаев наблюдаются у молодых людей в возрасте до 20 лет (медиана — 13 лет). В половине случаев развиваются в длинных трубчатых костях, в 30% — в позвонках. С высокой частотой ассоциируются с другими костными опухолями. Половая предрасполо-

женность отсутствует; расчетная ежегодная частота — 0,15 на 1 млн человек. Среди первичных опухолей позвоночника составляют около 15%.

Типичным клиническим проявлением АКК является боль; неврологические нарушения отмечаются в 40% случаев и обычно связаны с агрессивным течением и сдавлением позвоночного канала. Типичный рентгенологический признак — эксцентричное расширение кости с гомогенным или ячеистым литическим очагом, ограниченным резко истонченным кортикальным слоем (симптом яичной скорлупы или теннисного шарика), который лучше визуализируется на КТ. На МРТ визуализируется как гиперваскулярное многокамерное образование. Располагается преимущественно в задних структурах позвонка, хотя распространение на тела позвонков встречается достаточно часто. Агрессивный рост опухоли часто приводит к сдавлению и деформации костных элементов соседних позвонков.

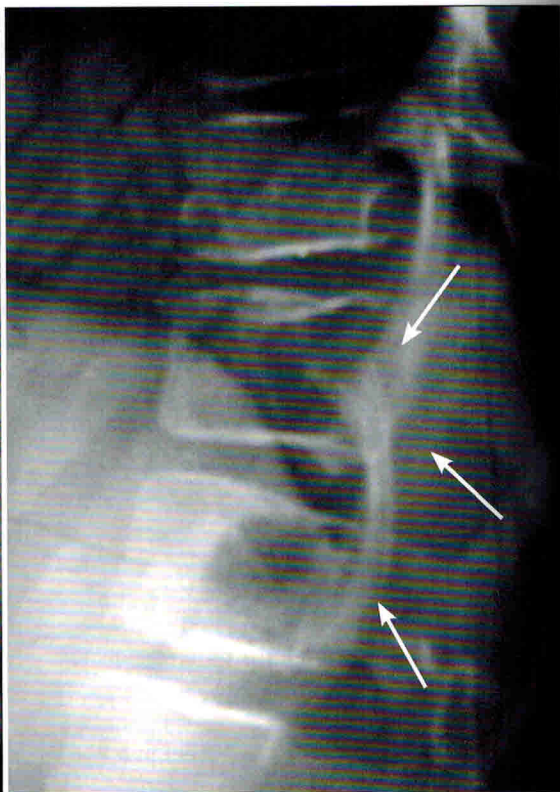


Рис. 8. Аневризмальная костная киста Th_{12} у девочки 12 лет: на рентгенограмме в прямой проекции (а) — снижение высоты левой половины тела Th_{12} позвонка с отсутствием контура замыкающей пластинки и контура корня дуги; вздутие прилегающего отдела 12-го ребра (обозначено стрелками); на рентгенограмме в боковой проекции (б) — остеолитический очаг в заднем отделе тела Th_{12} , переходящий на дугу; контуры задней замыкающей пластинки тела позвонка, остигнутого и суставных отростков не определяются; остеолитический очаг в заднем отделе тела L_1 (обозначено стрелками); на поперечном срезе КТ (в) — деструктивный очаг с фестончатыми краями, занимающий левую половину дуги и заднелатеральный отдел тела позвонка, распространяющийся в позвоночный канал и сдавливающий его более чем наполовину

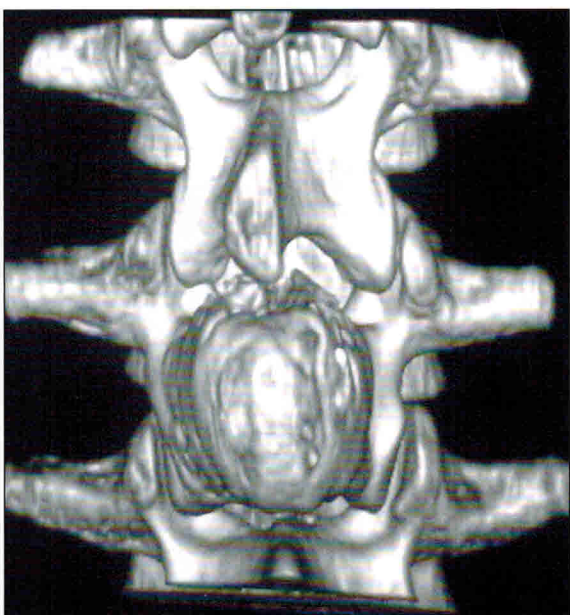


NB!

Особенности клинического наблюдения:
архивное наблюдение 2001 г.; агрессивный рост кисты в сторону позвоночного канала быстро привел к развитию нижней параплегии; после установления диагноза сразу начата лучевая терапия, достигнут полный регресс неврологической симптоматики.



Рис. 9. Аневризмальная костная киста остистого отростка L_3 позвонка (окончание см. на с. 36): на рентгенограмме в боковой проекции (а) – резкое увеличение в размерах остистого отростка L_3 позвонка, четко видимое на КТ-срезе (б) и 3D-реконструкции (в)



в

Метастатические поражения позвонков

Наиболее часто метастазы в кости отмечают при раке молочной (частота до 85%), предстательной (до 85%) и щитовидной (до 60%) желез; частота костных метастазов при опухолях почек и легких достигает 40%, печени — 16%, шейки матки — 13%. Другие опухоли метастазируют в кости с частотой менее 10%.

Метастатические поражения поясничных и грудных позвонков встречаются практически одинаково часто: 59 и 57% соответственно, шейных — значительно реже (17%).

Типичные проявления метастазирования в кости — болевой синдром, патологические переломы и гиперкальциемия.

Болевой синдром возникает в результате опухолевой инфильтрации нервных окончаний, их стимуляции опухолевыми метаболитами, увеличения внутрикостного давления и переломов; патологические переломы и гиперкальциемия типичны для остеолитических метастазов.

Характерным осложнением вертебральных метастазов является приводящее к неврологическим нарушениям сдавление спинного мозга и спинно-мозговых корешков, которые могут развиваться как в результате патологического перелома, так и распространения опухолевых масс в позвоночном канале.

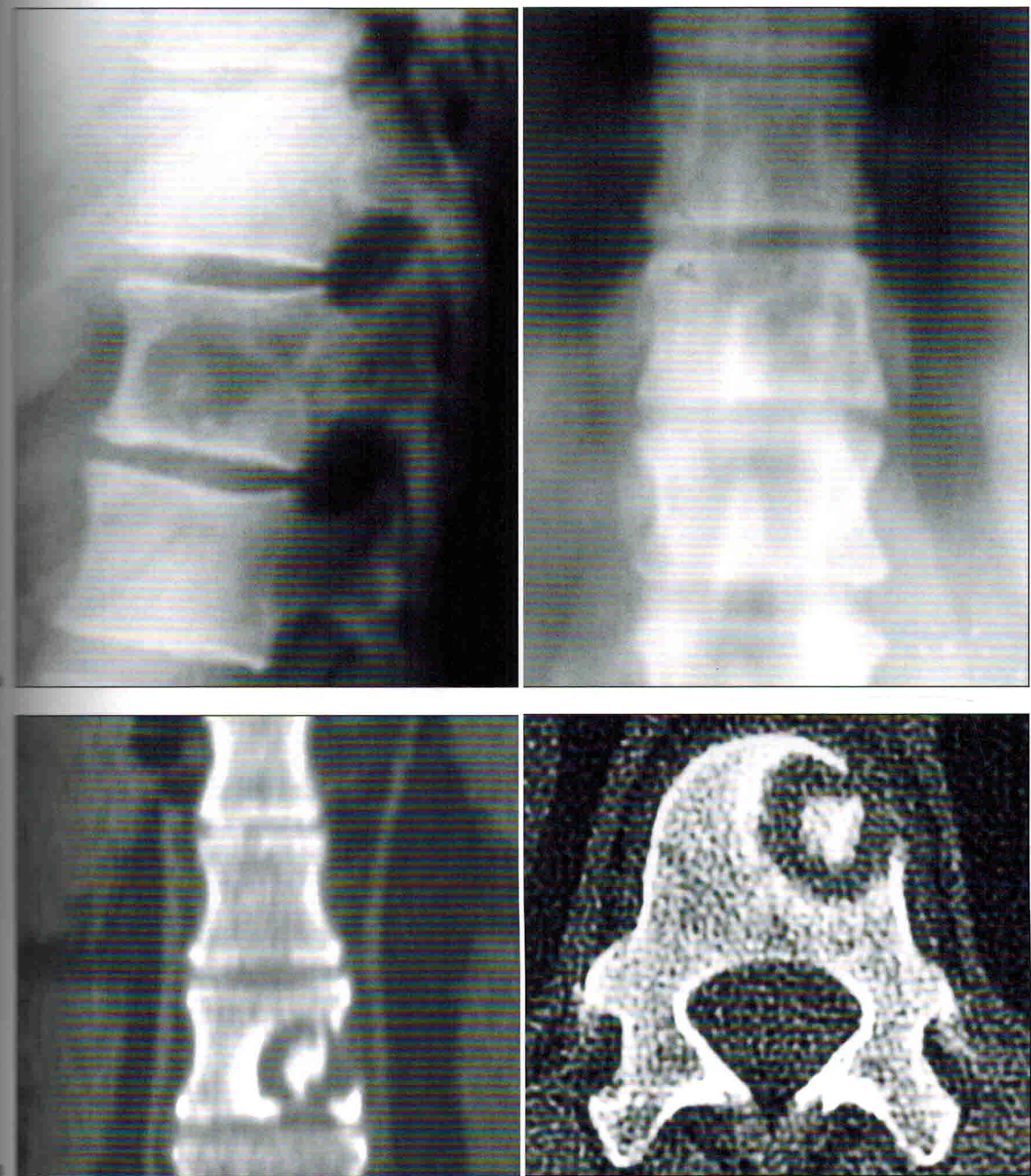
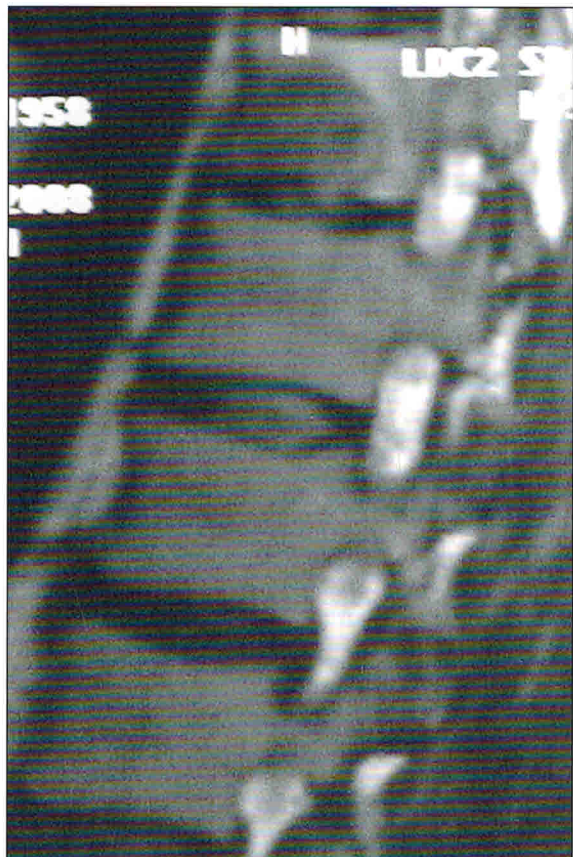


Рис. 55. Солитарный метастаз рака молочной железы (окончание см. на с. 108): на рентгенограммах (а, б) и компьютерных томограммах (в, г) — округлый очаг деструкции в теле позвонка с костным включением



д

Рис. 55. Окончание (начало см. на с. 107). Солитарный метастаз рака молочной железы: на сагиттальном МРТ-срезе (д) — патологический очаг занимает передние 2/3 позвонка

NB! Особенности клинического наблюдения:

боли в спине, вызванные метастазом в позвоночник, возникли первой клинической жалобой; выявленные рентгенологически и при КТ изменения в позвоночнике расценены как гигантская остеоид-остеома; опухоль молочной железы выявлена после гистологической верификации злокачественного метастаза.

ЧРЕСКОЖНАЯ БИОПСИЯ ПЗВОНКОВ ПРИ ОПУХОЛЯХ ПЗВОНОЧНИКА

Своевременная диагностика деструктивных заболеваний и их ранняя верификация остаются одними из наиболее сложных проблем современной остеологии. В отличие от других отделов скелета, позвоночник является достаточно сложной анатомической структурой для получения морфологического материала малоинвазивным способом, что и объясняет почти полное отсутствие отечественных данных о применении чрескожных функциональных биопсий позвонков. Однако объяснение отказа от применения инвазивных методов диагностики заболеваний позвоночника в пользу лечебно-диагностических вмешательств сложностью его анатомического строения и глубиной залегания костных структур абсолютно необоснованно.

Биопсия позвонков является заключительным этапом диагностического алгоритма при подозрении на опухоль позвоночника. Существует три варианта ее проведения: аспирационная — с использованием специальных трепанационных игл (*англ. fine-needle aspirate biopsy, FNA*; дословно: аспирационная биопсия хорошими иглами), инцизионная и эксцизионная. Считается, что эксцизионная биопсия предпочтительна при опухолях задних структур позвонков (в силу более высокой частоты доброкачественных процессов). Закрытая биопсия позвонков хотя и несколько ниже инцизионной по информативности, но близка к ней (70–80%), однако риск распространения опухолевых клеток в окружающие ткани при FNA-биопсии считается вдвое меньшим [Boriani et al., 1997; Phadke et al., 2001; Carson et al., 1994]. Пункционная аспирационная биопсия обычными иглами

при костной патологии имеет низкую диагностическую информативность (менее 30%) и используется лишь при мягкотканых параоссальных образованиях.

У детей, к сожалению, забор материала из позвонка обычно проводят в ходе диагностической либо лечебно-диагностической операции. У взрослых биопсия является обязательной при подозрении на опухолевый процесс, обеспечивая верификацию диагноза в 67–93% случаев, при этом столь существенные различия объясняются разной чувствительностью цитологических исследований биоптата при процессах, протекающих по деструктивному и склеротическому типу.

Анатомо-антропометрические особенности позвоночника взрослых позволяют использовать для безопасного введения иглы при трепанационной биопсии в грудном и поясничном отделах стандартный и хорошо разработанный транспедикулярный доступ — вертикальный и горизонтальный размеры ножек дут позвонков у взрослых достаточно велики и обычно составляют более 8 мм. У детей, особенно дошкольного возраста, эти размеры составляют от 3 до 6 мм; поперечный и ставные отростки поясничных позвонков имеют частично хрящевое строение, а вариабельная величина педикулярного угла затрудняет поиск места введения иглы, повышает риск ее проникновения в позвоночный канал и повреждения костных замыкательных пластинок.

Стандартная техника проведения транспедикулярной биопсии позвонков подробно описана, в том числе в отечественной литературе [Мануковский, 2007]. В данной главе основное внимание мы уделili особенностям ее проведения у дете-

Противопоказанием к чрескожной функционационной трепанационной биопсии позвонка являются тяжелые соматические заболевания, препятствующие проведению манипуляции под общим наркозом, а также отсутствие возможности лучевого (рентгенологического, флюороскопического или компьютернотомографического) контроля положения иглы во время процедуры.

Условия проведения функционарной трепанобиопсии позвоночника делят на субъективные и технические.

К субъективным условиям относят, во-первых, четкое, объемное представление проводящего манипуляцию хирурга об анатомо-топографическом строении исследуемого отдела, его соотношении с окружающими органами и нервно-сосудистыми образованиями, о возрастных особенностях пациента; во-вторых — наличие грамотного морфолога, имеющего опыт цитологических и гистологических исследований костного материала. Выполнение первого

условия необходимо для обеспечения безопасности процедуры, второго — для достоверной информативности.

К техническим условиям относят наличие специальных игл и оборудования для лучевого контроля. Для костной биопсии используют иглы Джамшиди (Jamshidi) 11 G и 13 G (для детей) и 9 G, 11 G (для взрослых), длиной от 10 до 15 см.

Особенности игл Джамшиди (*рис. 63*):

- наличие остроконечного мандрина, облегчающего введение иглы в кость на необходимую глубину;
- поперечный срез заточенного острия, препятствующий его деформации, что нередко возникает при использовании игл с косым или асимметрично заостренным срезом;
- наличие массивной поперечной рукоятки, удобной для расположения в руке хирурга и позволяющей создать достаточное осевое и ротационное усилие;
- зауженный на протяжении 7–10 мм от острия внутренний просвет; при про-

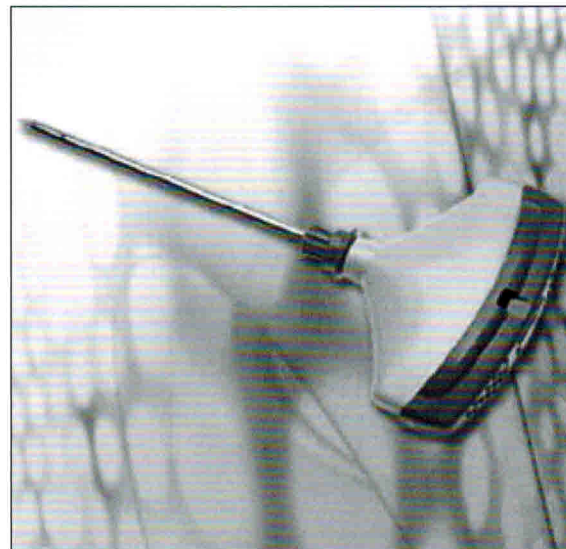


Рис. 63. Игла Джамшиди для костных биопсий

хождении иглы через кость заполняющий ее материал распространяется выше зауженной зоны, занимая весь поперечник иглы; при обратном движении в момент удаления иглы ткани заклиниваются на уровне сужения, что обеспечивает их сохранение внутри иглы;

- наличие выталкивателя, обеспечивающего выдавливание материала из иглы.

В некоторых вариантах в конце иглы имеются сквозные боковые отверстия, позволяющие более прочно заклинить биопсийный материал при манипуляции, а при его выталкивании частично отделить (выдавить) мягкотканый компонент (*рис. 64*).

Стандартом лучевого контроля биопсий позвонков считается КТ, однако манипуляция может выполняться с использованием рентгенооперационной установки «С-дуга» или «О-дуга», с контролем на экране монитора и фиксацией изображения на бумажном и электронном носителях¹.

Биопсии задних структур позвонка проводят из заднего доступа непосредственно в зоне предполагаемой опухоли (дуги, суставные, поперечные и остистые отростки), позиционируя иглу таким образом, чтобы при случайном соскальзывании ее движение не повредило структуры позвоночного канала.

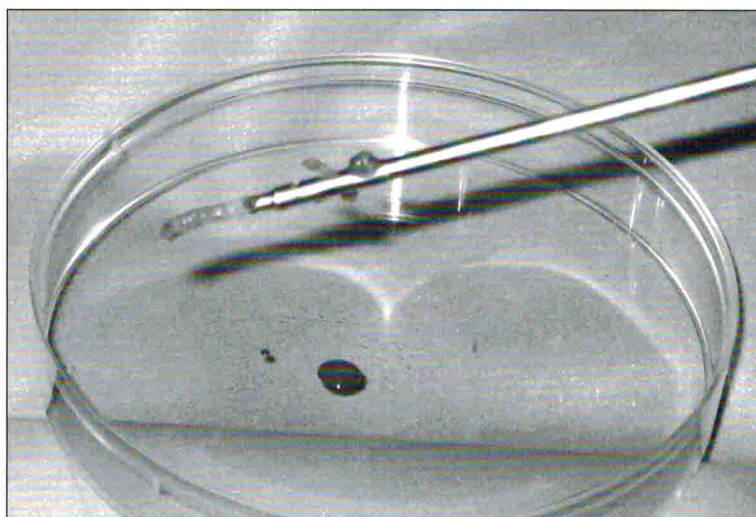


Рис. 64. Выдавливание биопсийного материала толкателем из иглы Джамшиди

¹ В начале разработки метода у детей мы были вынуждены использовать рентгенологический контроль с выведением изображения на пленочные носители, что удлиняет манипуляцию до 25–30 мин; использование передвижной рентгенооперационной установки или КТ-навигации сокращает ее до 5–7 мин.

Биопсия шейных позвонков

Биопсию верхних шейных позвонков (передняя дуга C_1 , тело C_2) следует выполнять из трансорального доступа, через заднюю стенку глотки, так как позвонки в этой зоне расположены непосредственно позади нее.

Биопсию тел субаксиальных шейных позвонков (C_3 — C_7) проводят в положении больного на спине, с валиком на уровне лопаток; голову разгибают, тем самым увеличивая шейный лордоз и приближая позвоночник к передней поверхности шеи. Для маркировки используют анатомические ориентиры (рис. 65): уровню тела C_3 соответствует подъязычная кость, C_4 и C_5 — соответственно верхний и нижний край щитовидного хряща, C_6 — перстневидный хрящ, или сонный бугорок Шассеняка (Chassaignac).

Техника манипуляции на шейных позвонках. При правостороннем доступе (удо-

бен для хирурга-правши) голову пациента поворачивают влево, при левостороннем — вправо. Второй и третий пальцы руки погружают между грудино-ключично-сосцевидной мышцей и трахеей, как бы разделяя их, при этом по наружному краю ощущают передаточную пульсацию сонной артерии, а концами пальцев — шейный отдел позвоночника. Иглу вводят между вторым и третьим пальцами через точечный прокол (надрез) до упора в тело позвонка, после чего при удалении мандрена проводят в косом направлении спереди назад и снизу вверх под углом 10—20° к горизонтальной плоскости (рис. 66). Глубину введения иглы в кость рассчитывают заранее по рентгенограмме; с учетом возраста, у детей обычно она составляет от 6 до 10 мм, у взрослых — до 14 мм. Положение иглы контролируют. После удаления иглы подушку извлекают из-под лопаток.

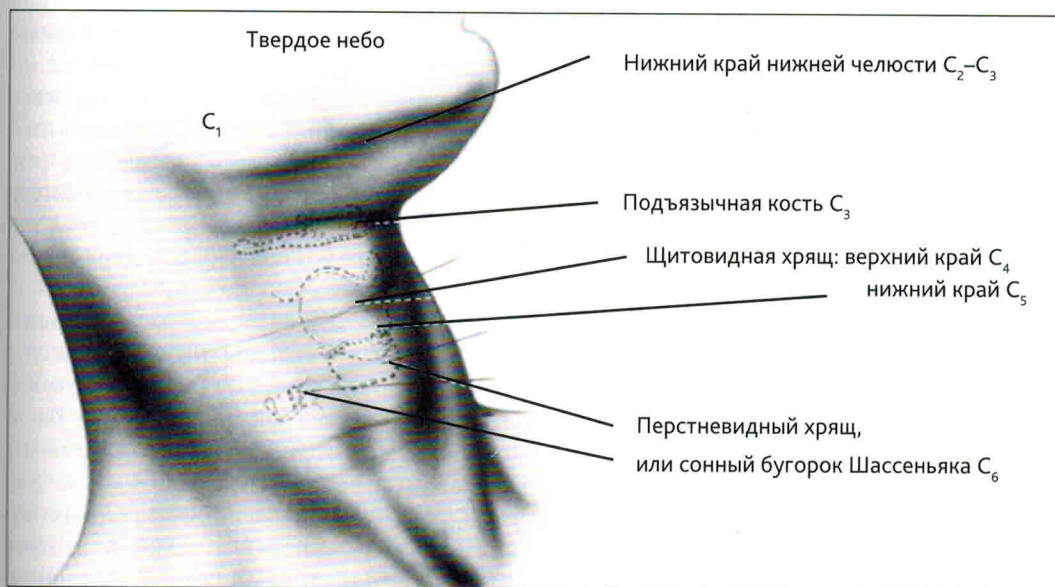


Рис. 65. Анатомические ориентиры уровней шейных позвонков [Winter et al., 1995]